

تحلیل رابطه تجربی بین مدول دینامیکی یانگ و ضریب انبساط حرارتی در گرافیت هسته‌ای

سعید فتوره‌چیان، فاطمه اهری هاشمی، شکوفه احمدی

مرکز تحقیقات هسته‌ای، سازمان انرژی اتمی ایران

چکیده

پیشرفت فناوریهای مختلف و شاخت کاربردهای ویژه گرافیت در انواع صنایع سبب شده است که خواص گوناگونی در گرافیت مورد بررسی قرار گیرد. خواص فیزیکی و مکانیکی گرافیت سنگی از روشهای تولید از حسنه فال گیری، جوش زایی^(۱)، فرود همثشار^(۲) است. فرایند تولید عامل اتحاد آراشیای مختلف دارای گُنك در گرافیت جد بلوری می‌باشد. ناهمسانگردی^(۳) خواص فیزیکی در گرافیت نیز به علت شکل گیری تک بلورها در جهت‌های مختلف شبکه بلوری مشاهده می‌شود. مدول دینامیکی یانگ و ضریب انبساط حرارتی از جمله خواص فیزیکی مهمی هستند که برای تعیین نوع گرافیت هسته‌ای اندازه گیری می‌شوند. برای سهولت بررسی کیفیت گرافیت هسته‌ای، روشهای تجربی متعددی درباره تحریر خواص در گرافیت و ارتباط آنها با یکدیگر ارائه شده است. در این پژوهش، به منظور تعیین رابطه بین مدول دینامیکی یانگ و ضریب انبساط حرارتی در گرافیت هسته‌ای نایاب کارهای تحریر مورد بررسی و استناده قرار گرفته است.

واژه‌های کلیدی: گُنك، فر قطران زغال‌سنگ، گرافیت هسته‌ای، رآکتور هسته‌ای، ناهمسانگردی، مدول دینامیکی یانگ

Determination of empirical relation between dynamic Young's modulus and thermal expansion coefficient for nuclear grade graphite

S. Fatoorehchian, F. Ahari Hashemi, Sh. Ahmadi

Nuclear Research Center, AEOI, P.O. Box: 14155-1339, Tehran-Iran

E-mail: SFatooreh@seai.neda.net.ir

Abstract

A variety of properties for graphite has been considered in parallel to the new industrial growth and special application of graphite. Physical and mechanical properties of graphite are affected by manufacturing process such as molding, extrusion, iso-estatic press, etc. These make different structure of coke grain in different directions in graphite polycrystalline. In order to estimate the type of nuclear grade graphite two important properties of graphite, dynamic Young's modulus and thermal expansion coefficient, are determined. To estimate the quality of nuclear graphite easily, several procedures and empirical relations have been introduced to show how these factors are related. In this work, experimental results have been used to determine the empirical relation between dynamic Young's modulus and thermal expansion coefficient.

γ - extrusion

γ - isostatic press

γ - anisotropy

۱- مقدمه

مدول دینامیکی یانگ و ضریب انبساط حرارتی گرافیت، کمیت‌های مکانیکی و حرارتی ناهمسانگردی هستند که مقادیر آنها تحت تأثیر میزان نابجایی‌ها در شبکه بلوری آن است. تغییرات این دو کمیت در یک جهت مشخص بلوری عکس یکدیگرند، یعنی در مقایسه مقادیر این دو خاصیت در جهات a و c شبکه بلوری، مدول دینامیکی یانگ در جهت a دارای مقدار بزرگتری است در حالیکه در همین جهت ضریب انبساط حرارتی مقدار کمتری دارد. این خواص به عنوان پارامترهای اصلی در کاربردهای هسته‌ای گرافیت مطرح بوده و تعیین آنها از اهمیت قابل توجهی برخوردار است. در این پژوهش علاوه بر تعیین ویژگیهای پیش‌گفته رابطه‌ای نیمه تجربی (تحلیلی - تجربی) بین این دو کمیت مکانیکی و حرارتی عرضه می‌گردد. همچنین با استفاده از این رابطه پارامتر جدیدی، به صورت حاصل‌ضرب مدول یانگ $\frac{E}{\alpha}$ در ضریب انبساط حرارتی α (یعنی $E\alpha$) تعریف می‌شود که مستقل از جهت‌های بلور شناختی است. این رابطه تجربی علاوه بر مورد کاربردش در گرافیتهای هسته‌ای، قابلیت استفاده در انواع دیگر گرافیت را نیز دارد.

۲- تحلیل رابطه تجربی

انبساط حرارتی در مواد گرافیتی متأثر از سه عامل زیر است:

- ۱- تعامل نوسانات حرارتی اتم‌های شبکه بلوری،
- ۲- خواص کشسانی تک بلورهای گرافیت،
- ۳- اتصال بین تک بلورها و ذراتی که این تک بلورها را در بر می‌گیرند.

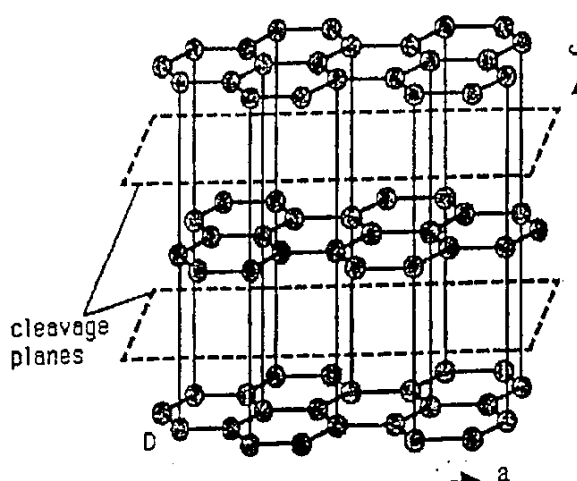
ضریب انبساط حرارتی مواد بلوری را می‌توان از رابطه (۱) حساب کرد:

$$\alpha_{(hkl)} = \frac{(\Delta a/a)_{(hkl)}}{\Delta T} \quad (1)$$

$(\Delta a/a)$: تغییرات واحد طول در جهت موردنظر در اثر حرارت، ΔT : تغییر درجه حرارت و (hkl) : اندیشهای میل شبکه بلوری است.

گرافیت یکی از مواد ساختاری رآکتورهای هسته‌ای است که کاربرد موفقیت‌آمیز آن در نخستین انواع این رآکتورها سبب گسترش کاربردهایش به صورتهای مختلف در صنایع هسته‌ای شده است. گرافیت در برابر تابش پرتوهای رادیوآکتیو مقاومت مطلوبی نشان می‌دهد و خواص فیزیکی انواع مصنوعی آن به شدت متأثر از نوع مواد اولیه و روش‌های تولید آنها می‌باشند. در این میان فرآیند شکل دهنی به دلیل کاربرد روش‌هایی مانند قالب‌گیری، بروونرانی و فشردن همفشار سبب جهت‌گیریهای متفاوت شبکه بلوری در قطعات گرافیت می‌شود که از اهمیت ویژه‌ای در فرآیند تولید برخوردار است.

ناهمسانگردی نتیجه مستقیم ساختار لایه‌ای بلور گرافیت است که به عنوان اختلاف در توزیع خواص در جهت‌های مختلف نمونه‌برداری از قطعات تبیین می‌شود. علت این اختلاف وجود پیوند قوی کووالانسی C-C بروی لایه‌ها (هم جهت با بردار a در شبکه بلوری، موازی با لایه‌ها) و پیوند ضعیف واندروالسی بین لایه‌ها (هم جهت با بردار c در شبکه بلوری، عمود بر لایه‌ها) است. ساختار بلوری گرافیت در شکل ۱ نشان داده شده است [۱]. لایه‌ای بودن شبکه بلوری، خواص فیزیکی گرافیت را تحت تأثیر قرار داده و موجب ایجاد ناهمسانگردی در این خواص می‌شود. ناهمسانگردی خواص گرافیت و تأثیر نوع مواد اولیه و فرآیندهای تولید در ایجاد آن به لحاظ کاربردی دارای اهمیت است.



شکل ۱- ساختار بلوری گرافیت نشان‌دهنده جهت‌های a و c [۱]

این ضربی به مقدار انداک در جهت π می‌شود که به افزایش حجمی منافذ بسته نیست داده می‌شود [۵]. با اندازه گیری ضربی انبساط حرارتی می‌توان مقادیر متوسط آنرا بین درجه حرارت اتاق و دمای مورد نظر با اضافه کردن مقادیر ثابتی بر طبق جدول ۱ بدست آورده [۳].

یکی از راههای شناخت ساختار بلوری گرافیت تعیین مدول دینامیکی یانگ است که علاوه بر آن در بررسی نوع تخلخل و ابعاد حفره‌ها نیز کاربرد دارد. برای اندازه گیری این مدول از روش‌های زیر استفاده می‌شود [۶]:

-روش رزونانس خمثی،

-روش انتشار امواج فرماصوت (اولتراسونیک).

با استفاده از قانون هوک و محاسبه شب منحنی نتش-کرنش نیز می‌توان مدول یانگ را حساب کرد؛ در این صورت آن را مدول استاتیکی یانگ نامیده‌اند [۱]. مدول دینامیکی یانگ در گرافیت تحت تاثیر عواملی مانند دمای آزمایش و چگالی نمونه‌ها قرار دارد. تحقیقات انجام گرفته نشان می‌دهند که در محدوده دمایی صفر تا 200°C درجه سلسیوس اثر دما بر آن به خوبی مشهود است و به طوری که در شکل ۲ مشاهده می‌شود، با افزایش دما مدول یانگ نیز افزایش می‌یابد. در مورد گرافیت هسته‌ای، بیشترین مقادار این افزایش حدود 40°C درصد است [۳].

افزایش مدول دینامیکی یانگ با افزایش چگالی نیز توسط کارهای تجربی بسیار به اثبات رسیده است. در شکل ۳ نمونه‌ای از این ارتباط نشان داده شده است [۷]. انبساط حرارتی غیر یکنواخت گرافیت در جهت‌های α و β شبکه بلوری سبب ایجاد ترک در ساختار بلوری آن می‌شود. از طرف دیگر ترکهای حاصل از سرد شدن قطعات پس از فرآیند

چون نوع پیوندها در ساختار بلوری گرافیت متفاوتند، ضربی انبساط حرارتی در جهت α کمتر از جهت β می‌باشد. این ضربی برای گرافیت‌های تجاری در محدوده 2×10^{-6} تا 5×10^{-6} بر درجه سلسیوس است؛ به صور مثال برای یک نمونه در جهت β درجه $1/7 \times 10^{-7}^{\circ}\text{C}$ ؛ در جهت α درجه $4/3 \times 10^{-7}^{\circ}\text{C}$ داده شده است.

در تک بلورهای گرافیت، خاصیت انبساط حرارتی مانند بسیاری از خواص دیگر ناهمسانگرد است به طوری که در جهت α به علت وجود نیروهای پیوندی قوی کرووالانسی تغییر اندازی در ابعاد گرافیت در اثر تغییر درجه حرارت ایجاد می‌شود، در صورتی که وجود نیروهای ضعیف واندروالسی در جهت β سبب افزایش ضربی انبساط حرارتی در این جهت می‌گردد. وجود نقصهای بلوری ساختاری مانند تخلخل و ترک که معمولاً از سرد شدن ناگهانی قطعات گرافیت پس از فرآیندهای حرارتی حاصل می‌شوند نیز بر این ضربی مؤثرند. بررسیها نشان می‌دهند که ضربی انبساط حرارتی گرافیت به طور غیریکنواخت تغییر می‌کند و تغییرات آن با درجه حرارت خطی نیست [۳].

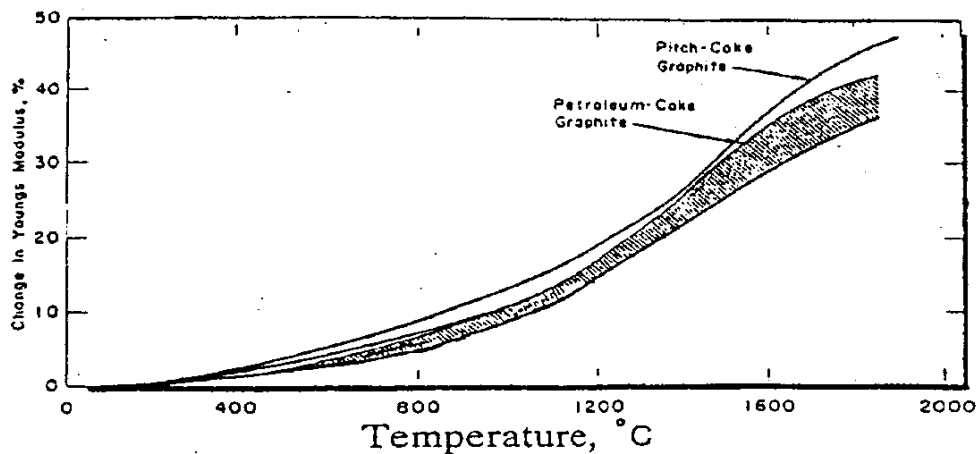
بررسی نتایج تحقیقات انجام شده به منظور مقایسه ضربی انبساط حرارتی و ناهمسانگردی در گرافیت‌های تک بلور و چندبلور نشان می‌دهد که گرافیت چندبلور دارای ضربی انبساط حرارتی و ناهمسانگردی کمتری است [۴]. علت این اختلاف را می‌توان جبران شدن مقدار بالای ضربی انبساط حرارتی در جهت β به توسط مقدار پایین آن در جهت α در این نوع گرافیت دانست؛ نتیجه‌ای که از جهت گیری دانه‌های کم در فرآیند شکل گیری حاصل می‌شود. بطور کلی ضربی انبساط حرارتی گرافیت بستگی زیادی به نوع مواد اولیه و فرآیندهای تولید دارد و می‌توان آن از برحسب موارد نیاز بهود بخشد.

استفاده از فرآیند چگال سازی یا اشباع قطعات پخته شده با مواد کربن دار مانند قیر حاصل از قطران زغال سنگ باعث بالا رفتن

جدول ۱- مقادیر ثابت برای محاسبه ضربی انبساط حرارتی در دمای‌های مختلف [۳]

درجه حرارت نهایی $^{\circ}\text{C}$	مقادیر ثابت (m^3/m^3)
۲۵۰۰	۲۰۰۰
۲۵۰۰	۱۵۰۰
۲۵۰۰	۱۰۰۰
۲۵۰۰	۹۰۰
۲۵۰۰	۸۰۰
۲۵۰۰	۷۰۰
۲۵۰۰	۶۰۰
۲۵۰۰	۵۰۰
۲۵۰۰	۴۰۰
۲۵۰۰	۳۰۰
۲۵۰۰	۲۰۰
۲۵۰۰	۱۰۰
۲۵۰۰	۰
۲۵/۲	۲۱/۲
۲۵/۲	۱۷/۲
۲۵/۲	۱۳/۲
۲۵/۲	۱۲/۲
۲۵/۲	۱۱/۲
۲۵/۲	۱۰/۲
۲۵/۲	۹/۲
۲۵/۲	۷/۷
۲۵/۲	۶/۰
۲۵/۲	۴/۰
۲۵/۲	۲/۰

* مقادیر ثابت که باید به ضربی انبساط حرارتی اندازه گیری شده در دمای 20°C درجه سلسیوس اضافه شوند.



شکل ۲- وابستگی مدول دینامیکی یانگ گرافیت به درجه حرارت [۳]

و پسیگیری فرآیندهایی مانند خردکردن، دانه‌بندی، اختلاط، شکل‌دهی با استفاده از روش قالب‌گیری، پخت، چگالسازی و گرافیتی کردن استفاده شده است. برای انجام دادن آزمون‌های موردنظر، از هر قطعه گرافیت دو نمونه در جهت عمودی (موازی با جهت a در شبکه بلوری) و چهار نمونه موازی با جهت فشار (موازی با جهت c) تهیه شده است.

۱-۳- اندازه گیری ضریب انبساط حرارتی: دستگاه مورد استفاده در این آزمایش انبساط سنج است که براساس انقباض نمونه در ازت مایع با دمای حدود 196°C (WK-77K) انجام گرفته است. در این روش تغییرات طول نمونه بین دماهای اتاق و ازت مایع اندازه گیری شده است. مدت توقف هر نمونه در ازت مایع دست کم ۱۵ دقیقه بوده و در هر مرحله اندازه گیری، سیستم به وسیله پنج نمونه استاندارد سنجه‌بندی شده و آزمایش برای هر نمونه ۳ بار تکرار و میانگین تغییرات طول نمونه برای محاسبه ضریب انبساط حرارتی، در رابطه ۲ بکار رفته است:

$$\alpha = \frac{\Delta L}{L_0(T_0 - T)} + C \quad (2)$$

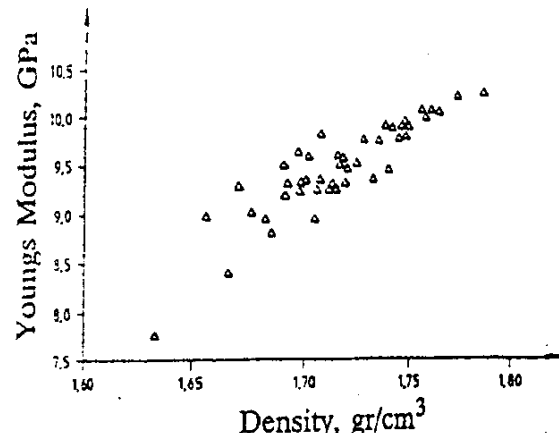
که در آن:

: ΔL متوسط تغییر طول اندازه گیری شده (cm)

گرافیتی کردن (۴) نیز سبب کاهش چگالی شده و به تبعیت از آن مدول دینامیکی یانگ در اثر افزایش نقصهای ساختاری (حفره‌ها و ترکها) نقصان خواهد یافت.

۳- روش کار

در این کار پژوهشی، نمونه‌های گرافیت مورد آزمایش، به شکل استوانه‌هایی به قطر ۶ میلیمتر و به ارتفاع ۴۰ میلیمتر بوده‌اند که از قطعات گرافیت ساخته شده در کارگاه پروژه تهیه شده‌اند. برای ساخت این قطعات در کارگاه، که استوانه‌هایی به قطر ۴۰ میلیمتر و ارتفاع حدود ۶۰ میلیمتر بودند، از مواد اولیه مختلف



شکل ۳- تغییرات مدول دینامیکی یانگ گرافیت با چگالی [۷]

ت: زمان انتشار موج (s) I.: طول نمونه (m)

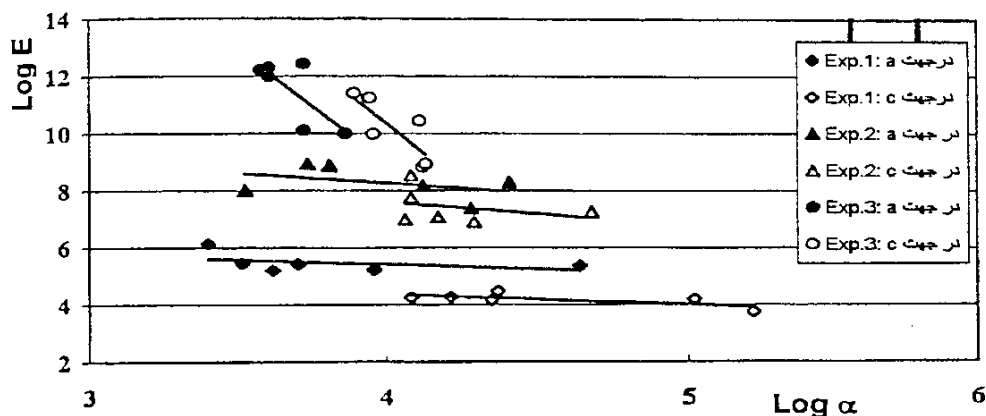
۳-۳- نتایج اندازه گیری: سه دسته از گرافیتهای ساخته شده با توجه به بررسیهای انجام گرفته برای این پژوهش انتخاب شده‌اند. که هر دسته مشتمل بر شش قطعه بوده است و برای تعیین خواص هر قطعه، چهار نمونه در جهت a (موازی با جهت فشار شکل‌گیری) و دو نمونه در جهت a (عمود بر جهت فشار شکل‌گیری) بلور گرافیت تهیه شده و آزمایش‌های لازم بر روی آنها به عمل آمده است. جدول ۲ نتایج حاصل را که شامل چگالی، ضریب انبساط حرارتی و مدول دینامیکی یانگ این قطعات است نشان می‌دهد. در ستون آخر نیز حاصل ضرب $E\alpha$ عرضه شده است. مواد اولیه و فرآیندهای بکار رفته در ساخت دسته‌ها یکسان بوده و تنها تفاوت آنها این است که در ساخت دسته‌های Exp.2 و Exp.3 به ترتیب از یکبار و دو بار اشباع کردن با قیر قطران زغال‌سنگ استفاده شده و دسته Exp.1 بدون چگال‌سازی تهیه شده است.

L:	طول اولیه نمونه در درجه حرارت اتاق (cm)
T:	دماهی اتاق (K)
T:	دماهی ازت مایع (K)
C:	عدد ثابت برابر با 54×10^{-7} که به عنوان ضریب تصحیح انبساط اجزاء سیستم مورد استفاده قرار گرفته است.
۲-۳-	-اندازه گیری مدول دینامیکی یانگ: برای اندازه گیری این مدول در نمونه های گرافیت، از امواج فراصوت استفاده شده است. در این حالت زمان عبور موج فراصوت (t) از درون نمونه ای با طول مشخص L اندازه گیری شده و سرعت انتشار موج از رابطه $L/t = c$ محاسبه می شود. با مشخص بودن جگالی نمونه، مدول دینامیکی یانگ از رابطه $c^2 = \rho E$ بدست می آید.
E:	مدول دینامیکی یانگ (Pa)
ρ :	چگالی نمونه (kg/m^3)
c:	سرعت انتشار موج فراصوت در نمونه (m/s)

جدول ۲ - نتایج حاصل از ای قطعات ساخته شده

Eα, 1.7 Pa/K	(GPa)	مدول دینامیکی یانگ (GPa)	ضریب اسپاٹ حرارتی (αk ⁻¹)	چگالی (gr/cm ³)	شاره	ساحت
جهت ۱	جهت ۲	جهت ۳	جهت ۴	جهت ۵	جهت ۶	جهت ۷
۲۰.۹۹	۱۹.F۹	۷.۱۲	F.F۷	۷.۸۲	F.۷۷	۱.۴۲۲
۲۰.۷۷	۱۹.۹۸	۵.۲۲	F.۱۸	۷.۹۷	۵.۲	۱.۵۴
۲۰.۱۷	۱۷.۸۹	۵/F۷	F.۷۰	۷.۷۲	F.۷۱	۱.۵۵۶
۱۸.۹۲	۱۸.۰۱	۵/Y-	F.۱F	۷.۶۷	F.۷۵	۱.۵۷۰
۱۷/۱۰	۱۷/۲۳	F/۸۳	F/۲۳	۷/۰F	F.۰A	۱.۵۱۰
۱۷/F۸	۱۷/F۸	۵/F۰	F/VF	F/۷۵	۵/۲۲	۱.۵۷۶
۲۲/۰۷	۲۱/۶۲	A/۹F	V/V۰	۷-V۰	F.۱A	۱.۷۷۲
۲۲/۸۰	۲۲/V۷	A.۸۷	A/۵۲	۷-۸۲	F.۱A	۱.۷۸۱
۲۲/۷۰	۲۲/۰۰	A/۰۰	V/۲۰	F/F۱	F.۷۹	۱.۷۹۵
۲۱/۰۹	۲۹/۰۷	V/۲۸	۷/۸۹	F.۷۸	F.۷۹	۱.۷۷۸
۲۲/۷۶	۲۹/FF	A/۱V	V/۰۷	F/۱۷	F/۱V	۱.۷۷۵
۲۸/F۰	۲۸/۰F	A/۰۰	۷/۹۸	۷/۰۰	F.۰۷	۱.۷۵۸
F۱/F۶	FF/FY	۱۷/FY	۱۱/۲۹	F/VF	F/۰.	۱.۷۵۰
FF/۹۷	FF/۲۶	۱۲/۲۱	۱۱.۲۲	۳/۶	F.۹۵	۱.۷۸۸
FF/۰۸	FY/AV	۱۲/YA	۱-/FF	۳/۶۲	F.۱۱	۱.۷۶۳
FF/۰۰	F۹/FA	۱۱/AV	۹.۹۷	۳/۶۲	F.۹۷	۱.۷۶۴
۲۷/V۷	۲۷/۲۳	۱-/۱-	A/A-	F/VF	F/۱۷	۱.۷۶
۲۸/۶۶	۲۷/AF	۹.۹۹	A/۹۲	F/۸۷	F.۱۲	۱.۷۶۰

*- اثان دهندو دفعات حگا ساز است.

شکل ۴- تغییرات LogE بر حسب Log α برای قطعات ساخته شده

تقریباً ثابت می‌ماند.

برای مقایسه نتایج حاصل از نمونه‌های گرافیت ساخته شده با نمونه‌های گرافیت هسته‌ای، دو نمونه از این نوع گرافیت مربوط به آمریکا و یک نمونه فرانسوی انتخاب و اطلاعات موردنظر در جدول ۳ عرضه شده است. علاوه بر این ضریب ناهمسانگردی که خارج قسمت ضریب انبساط حرارتی در جهت a به جهت a است، همچنین حاصلضرب E α در این جدول مندرج است. برای تحلیل یافته‌ها، منحنی تغییرات LogE بر حسب Log α برای میانگین نتایج نمونه‌های انتخاب شده نیز در شکل ۵ رسم شده است.

۴- یافته‌ها و نتیجه‌گیری

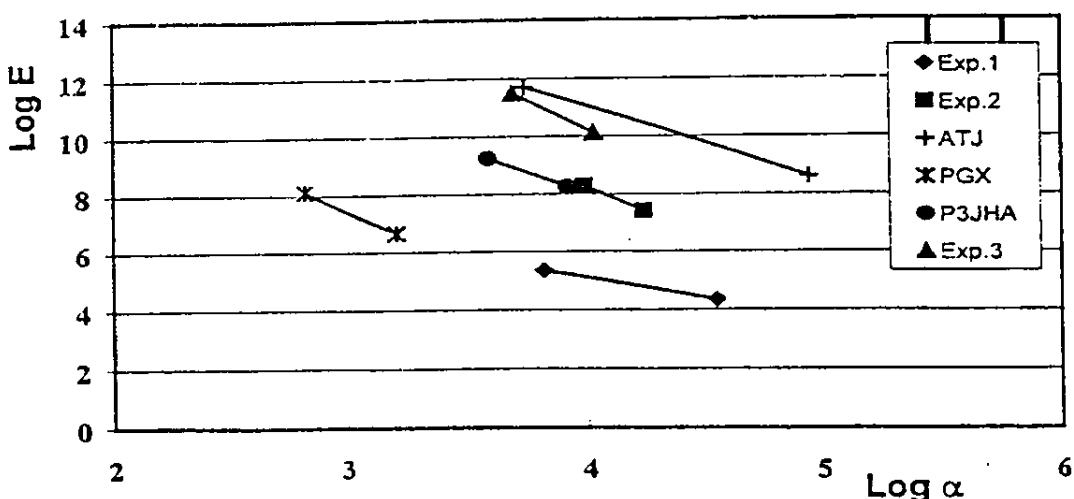
برای بدست آوردن رابطه تحریبی بین E و α ابتدا منحنی تغییرات LogE بر حسب Log α برای نمونه‌ها رسم شده است (شکل ۴). یافته‌های زیر از این منحنی قابل استنتاج است:

- (الف) تغییرات α و E در نمونه‌ها عکس هم بوده است به طوری که با افزایش α مقدار E کاهش می‌یابد.
- (ب) برای هر یک از نمونه‌ها شبیه خصی که از نقاط مربوط به نتایج آزمایشها در جهات مختلف (a و c) می‌گذرد تقریباً یکسان است.

(ج) افزایش جگالی اثر مستقیم بر مقدار E و اثر معکوس بر $E\alpha$ داشته است، اما تغییرات به گونه‌ای است که حاصلضرب

جدول ۳- مقایسه نتایج نمونه‌های ساخته شده با نمونه‌های هسته‌ای

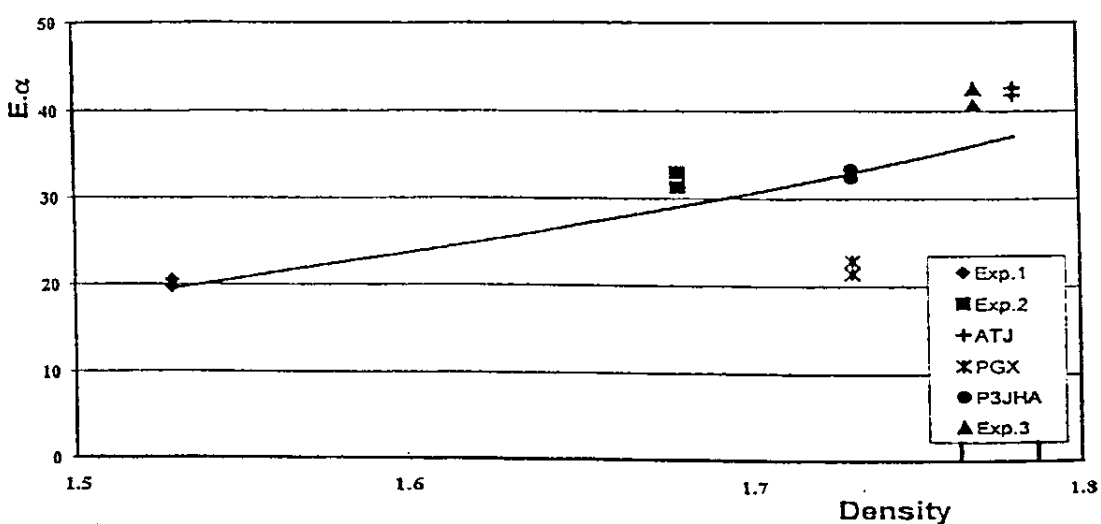
E α	ضریب ناهمسانگردی	نمونه‌دینامیکی پانگ	نمونه‌ای حرارتی	ضریب انبساط حرارتی	جهت	چگالی	نمودار	تولیدکننده	نوع گرافیت
				E.GPa	$\alpha_{\text{m}} \text{K}^{-1}$	gr/cm ³			
1.5 PaK									
19.72±2.80	1/19	19.72±2.80	1/19	4.22±0.22	4.54±0.46	1/52±0.04	نمونه آزمایشی (ایران)	Exp.1	
20.41±2.5		20.41±2.5		5.26±0.42	2.82±0.46	a جهت	نمونه آزمایشی (ایران)		
21.29±2.12	1/17	21.29±2.12	1/17	7.41±0.62	4.22±0.22	c جهت	نمونه آزمایشی (ایران)	Exp.2	
22.96±2.76		22.96±2.76		8.27±0.58	2.99±0.22	a جهت	نمونه آزمایشی (ایران)		
F ₁ ,7.0±2.79	1/19	F ₁ ,7.0±2.79	1/19	10.12±1.11	4.028±0.102	c جهت	نمونه آزمایشی (ایران)	Exp.3	
F ₂ ,F ₃ ±2.49		F ₂ ,F ₃ ±2.49		11.49±1.12	2.702±0.102	a جهت	نمونه آزمایشی (ایران)		
F ₄ /F ₅ ±0.7	1/22	F ₄ /F ₅ ±0.7	1/22	8.70±0.14	4.95	c جهت	UCC (آمریکا)	ATJ	
F ₁ ,8±1.7		F ₁ ,8±1.7		11.70±0.44	2.75	a جهت	UCC (آمریکا)		
F ₂ ,F ₃ ±0.4	1/15	F ₂ ,F ₃ ±0.4	1/15	6.95±0.12	2.22	c جهت	UCC (آمریکا)	PGX	
F ₂ ,8±0.4		F ₂ ,8±0.4		8.10±0.12	2.81	a جهت	P ₁ JK		
F ₂ ,F ₃ ±0.6	1/14	F ₂ ,F ₃ ±0.6	1/14	8.26±0.91	2.92	c جهت	P ₁ JK		
F ₂ ,F ₃ ±1.0		F ₂ ,F ₃ ±1.0		9.25±0.27	2.70	a جهت	P ₁ JK		



شکل ۵- تغییرات LogE بر حسب Log α برای متوسط شابع

بودن بلور گرافیت را نشان می دهد نیز استفاده کرد، قبل آن نیز بیان شد که با افزایش چگالی گرافیت، E_α افزایش و α کاهش می یابد، اما میزان تاثیر این افزایش در مدول دینامیکی یانگ بیشتر از ضرب انبساط حرارتی است، در نتیجه مقدار حاصلضرب E_α برای دسته های مختلف با افزایش چگالی روند صعودی را نشان می دهد. دامنه کاربرد رابطه $E_\alpha = c\alpha$ بستگی به تعیین مقدار گرافیت می توان تنها با انجام دادن یک آزمایش و تعیین یکی از خواص، خاصیت دیگر را راه محاسبه بدست آورد.

چنانکه مشاهده می شود، روند تغییرات برای تمام دسته ها تقریباً یکسان است و این موضوع صحت یافته های قبلی را تایید می نماید. در نتیجه می توان رابطه تحری $E_\alpha = c\alpha$ را در جهت های مختلف و برای گرافیتهای گوناگون، به ویژه نوع هسته ای آهابکاربرد. به طوری که از جدول ۳ نیز استنباط می شود مقادیر بدست آمده برای دو جهت آن و تقریباً یکسان بوده و خطای انحراف از میانگین نیز کمتر از ۱٪ درصد است. نکه مورد توجه دیگر، به طوری که مشاهده می شود این است که با افزایش چگالی حاصلضرب E_α نیز افزایش می یابد (شکل ۶)، برای توضیح این مسأله می توان از شکل ۱ که لایه ای



شکل ۶- تغییرات حاصلضرب E_α بر حسب چگالی قطعات



References

1. N.C. Paiti, "Static and dynamic investigation on phillips petroleum," Report No.1-107-05- 745-21, Texas, USA (Document from internet), (1990).
2. K. Othmer, "Encyclopedia of chemical technology," John Wiley & Sons, vol.4 (1986).
3. R.E. Nightingale, "Nuclear graphite," Academic Press, (1962).
4. L.M. Currie, "The production and properties of graphite for reactors," Proceeding of the first united nation international conference on the peaceful use of atomic energy, Geneva, 1955, vol.8, UN, NewYork, (1959).
5. Y.S. Touloukian, "Thermo-physical properties of matter," A comprehensies compilation of data, vol.13 (1970).
6. A. Wolfenden, "Dynamic Young's modulus measurements in metallic materials," Journal of Testing & Evaluation, Jan, (1989).
7. W. Delle, K. Koizlik, H. Nickel, "Graphitic materials for use in nuclear reactors," Part 2, Karl thiemic AG, Munchen, (1983).

تاریخ دریافت مقاله: ۱۳۷۹/۹/۲۷
تاریخ پذیرش مقاله: ۱۳۸۰/۶/۳۱